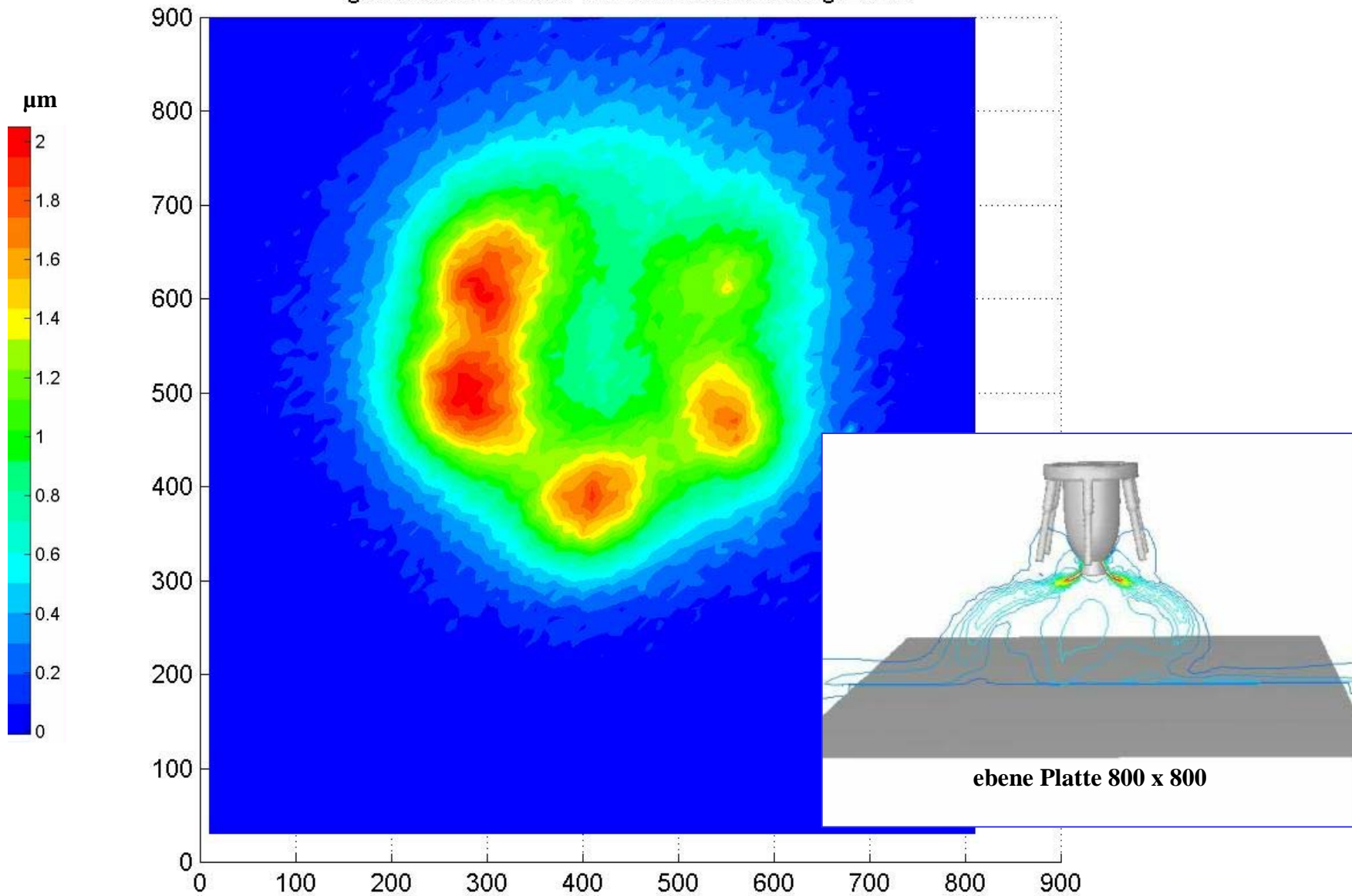
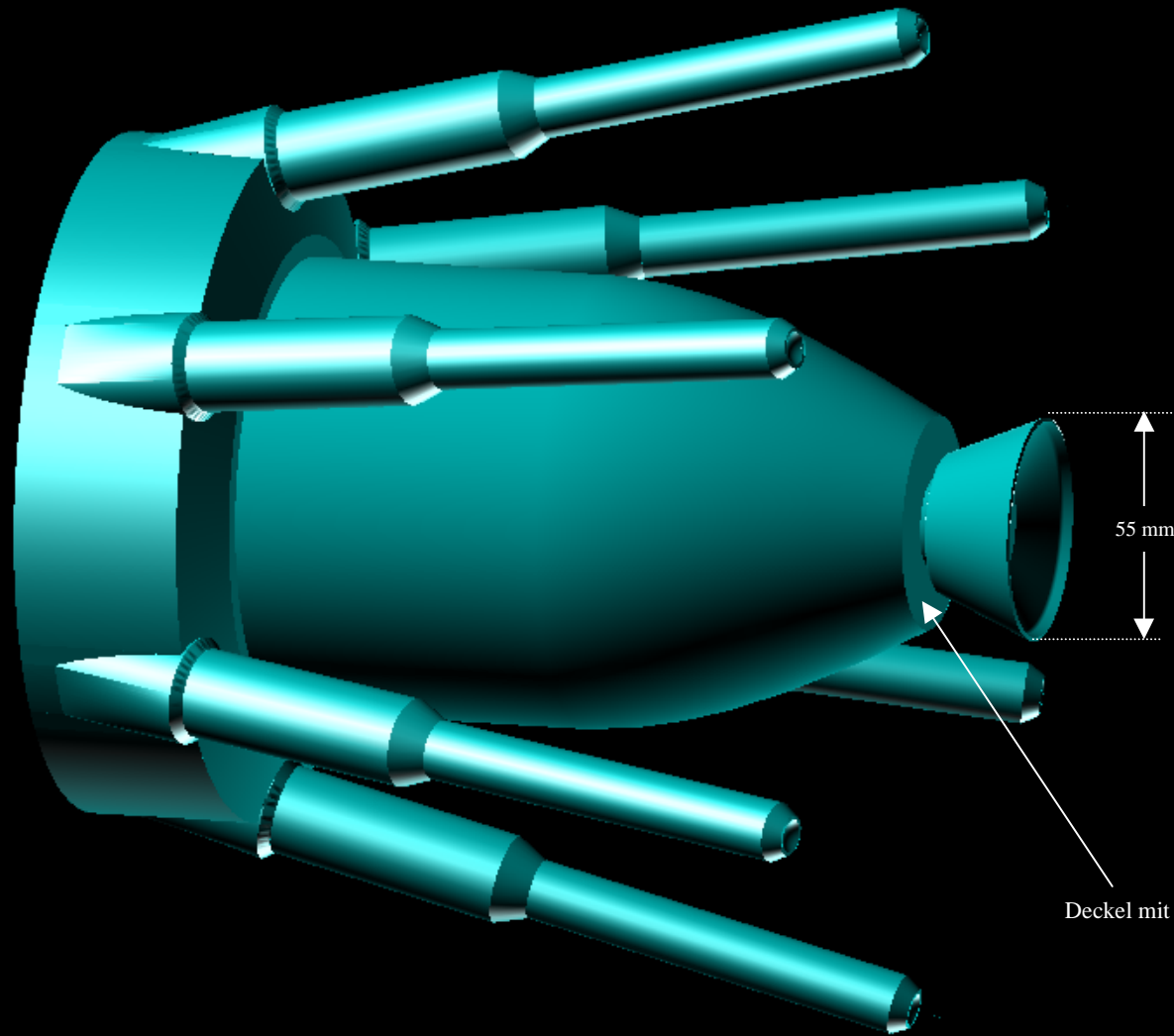


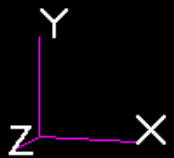
gemessene Trocken-Schichtdickenverteilung ESTA

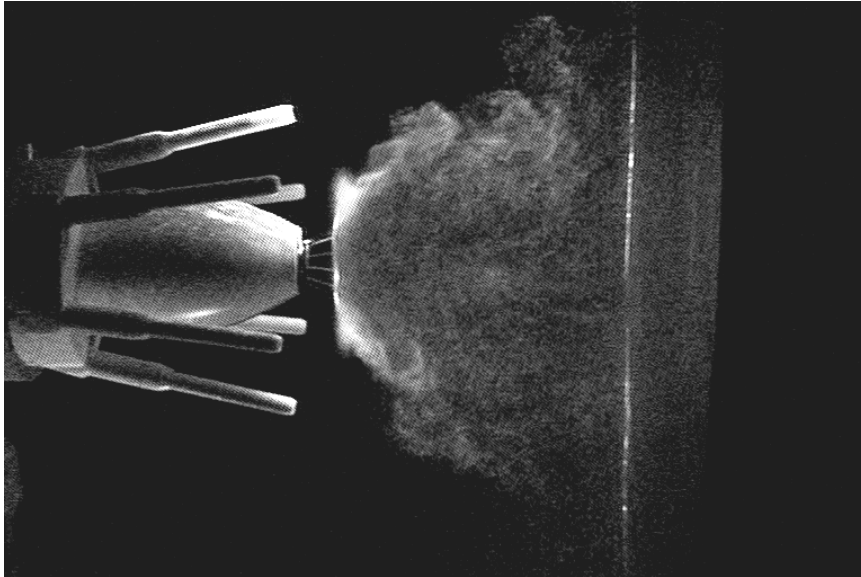




55 mm

Deckel mit 40 Lenkluftdüsen



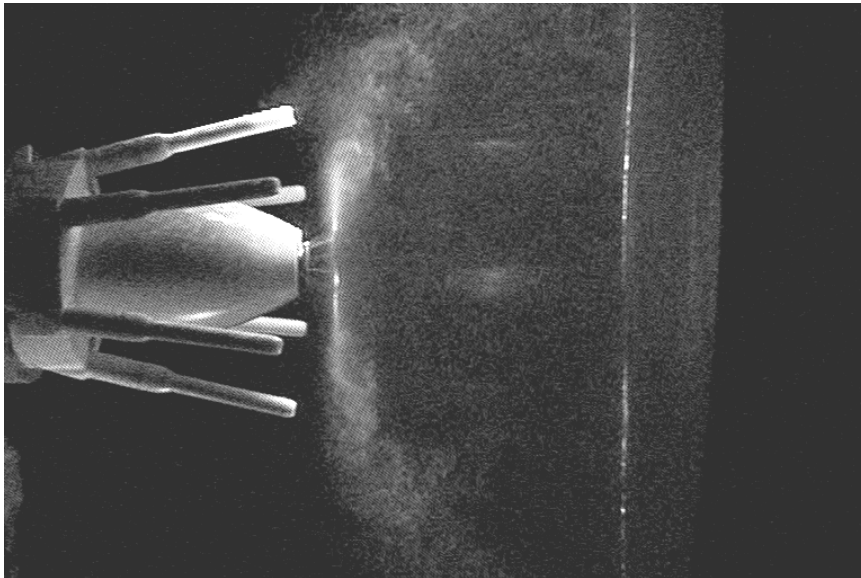


Standardeinstellung

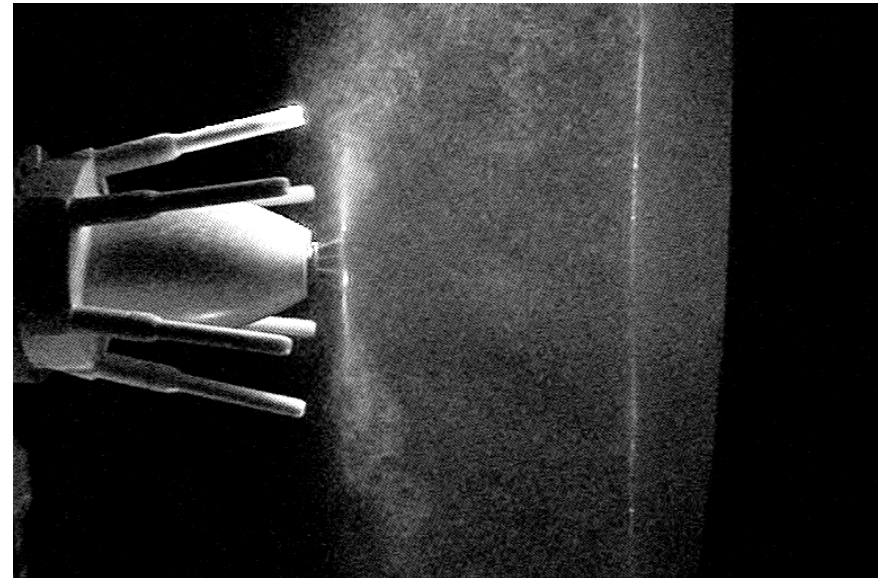
Laserlichtschnitt Ecobell-Zerstäuber

Standardbetriebsbedingungen:

Luftvolumenstrom:	150 NI/min
Glockendrehzahl:	45000 U/min
Lackmenge:	150 ml/min
Hochspannung:	-70 kV
Strom:	450 μ A
Modell-Lack:	Wasser + 12% Butylglykol



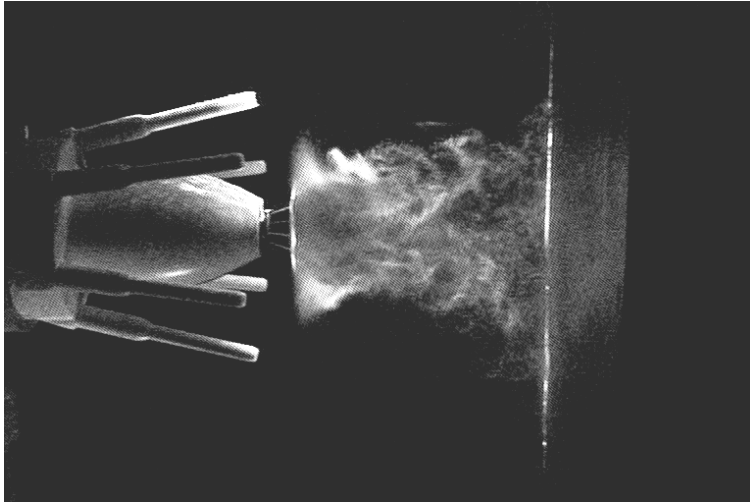
ohne Lenkluft



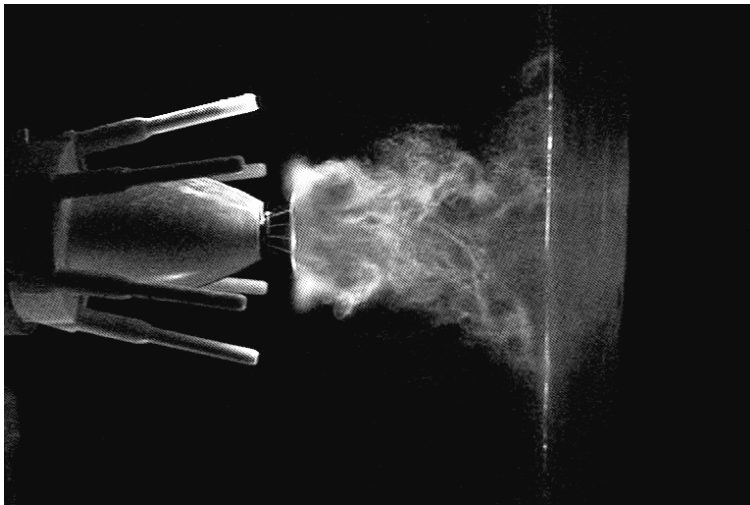
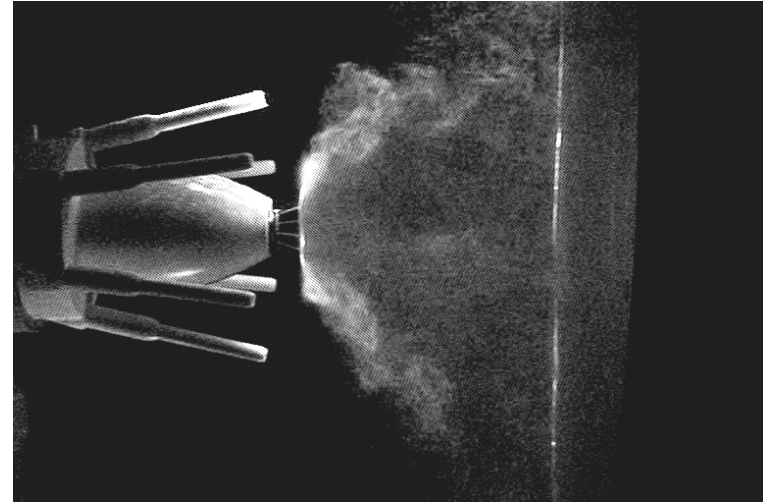
ohne Lenkluft & ohne Hochspannung

Laserlichtschnitte *Ecobell-Zerstäuber*

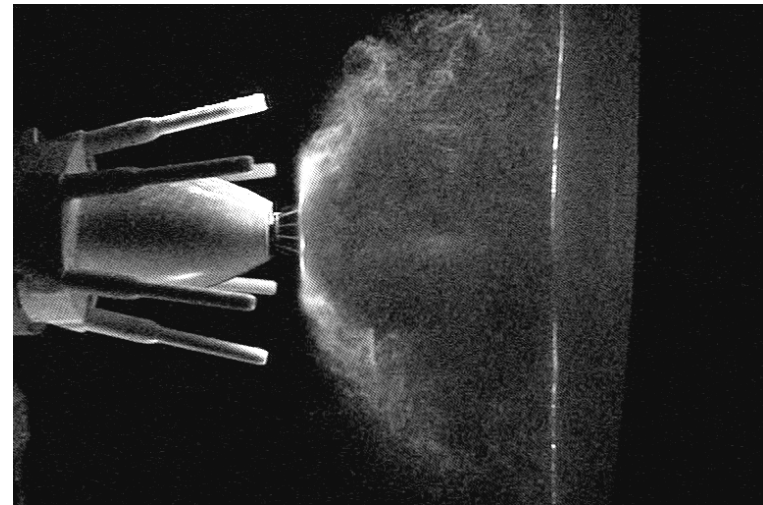
Drehzahl: -25 %



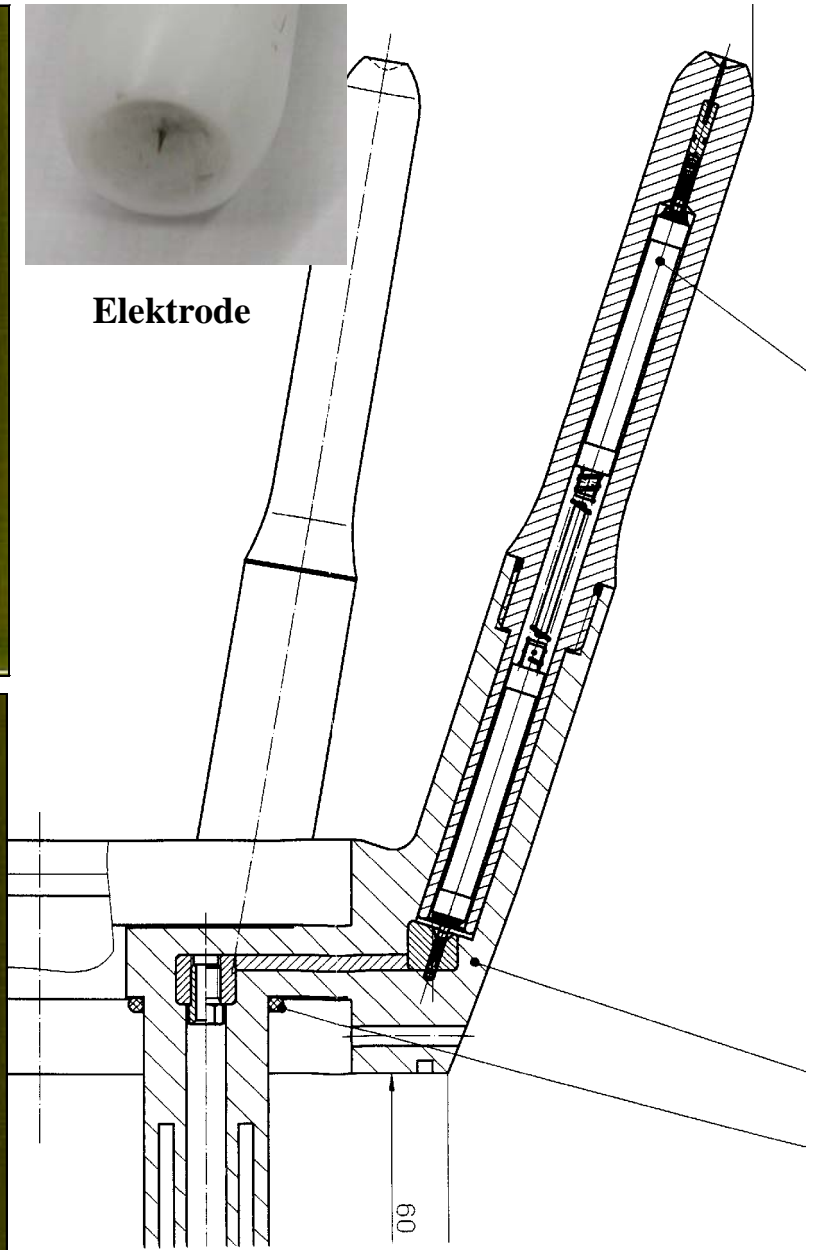
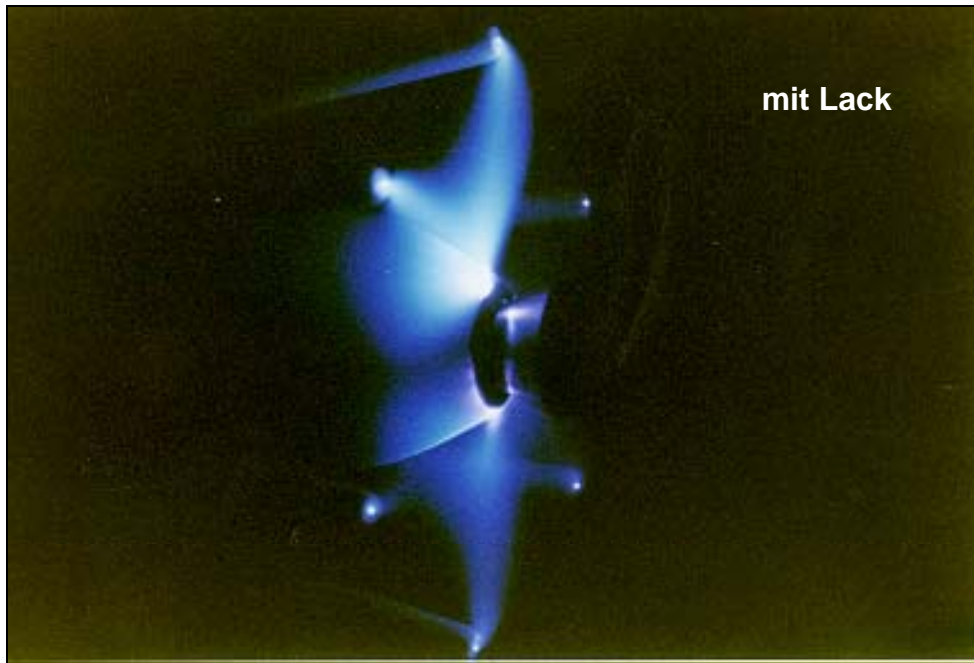
Drehzahl: +25 %



Lenkluft: +33%



Lenkluft: -33%



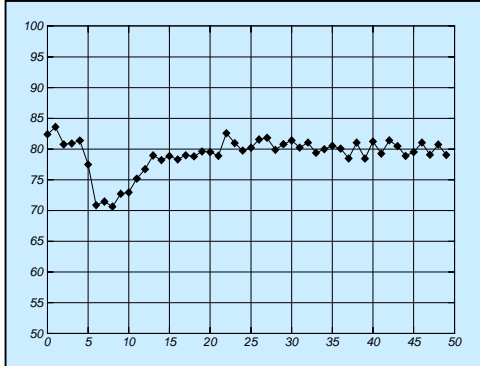
Spray Painting:

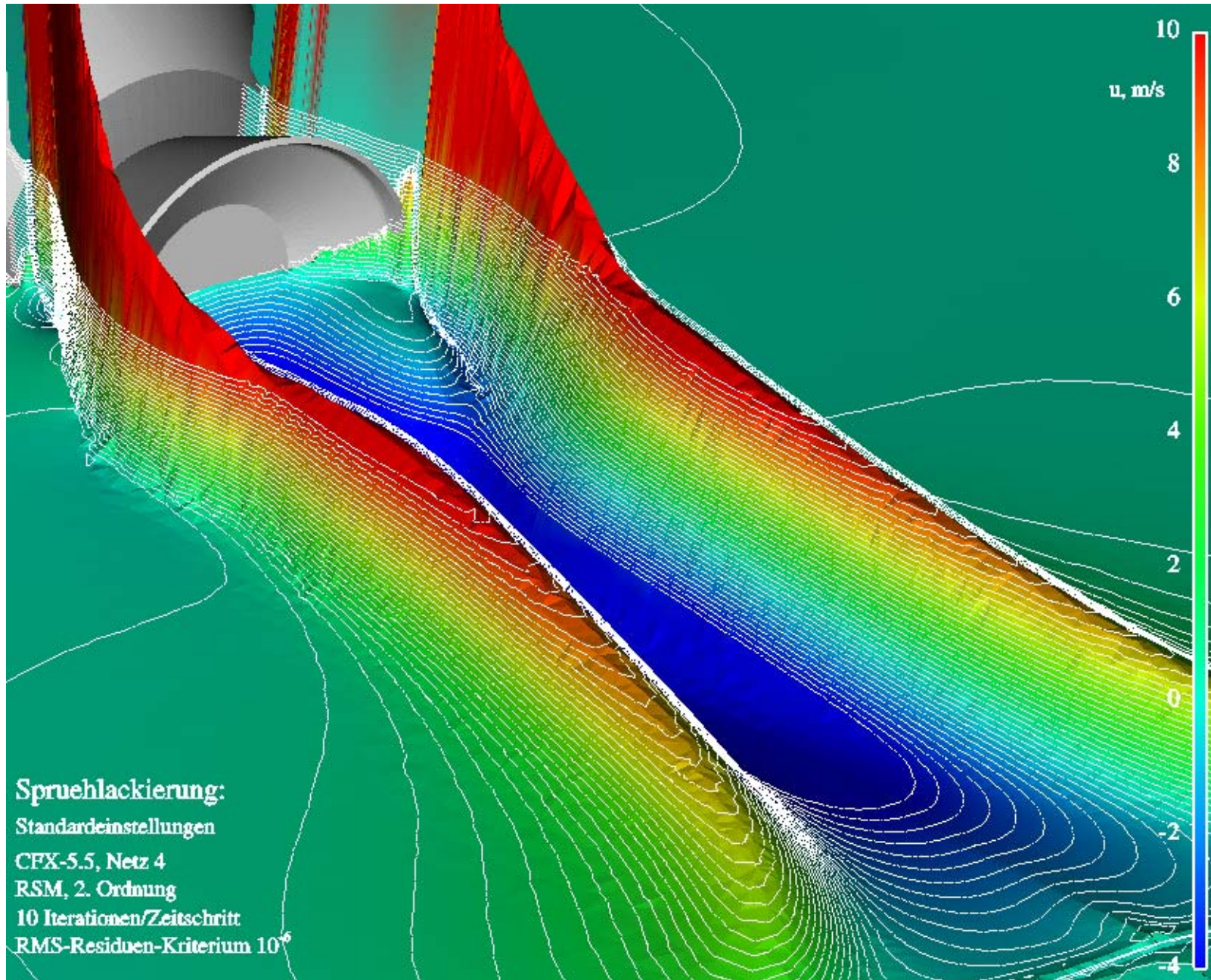
1000 particles
no charge
k-eps model



2-way coupling
50 particle iterations

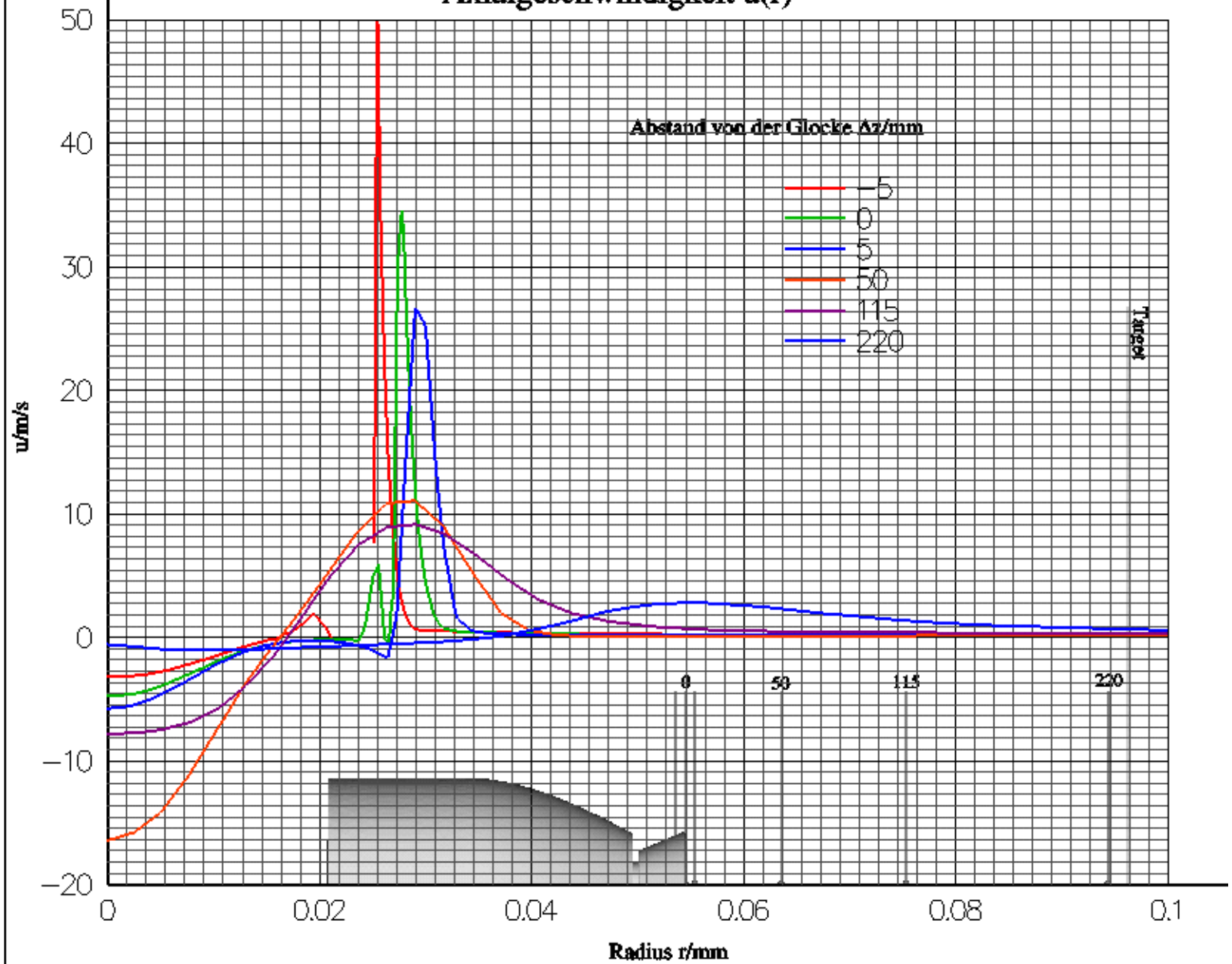
1-way coupling





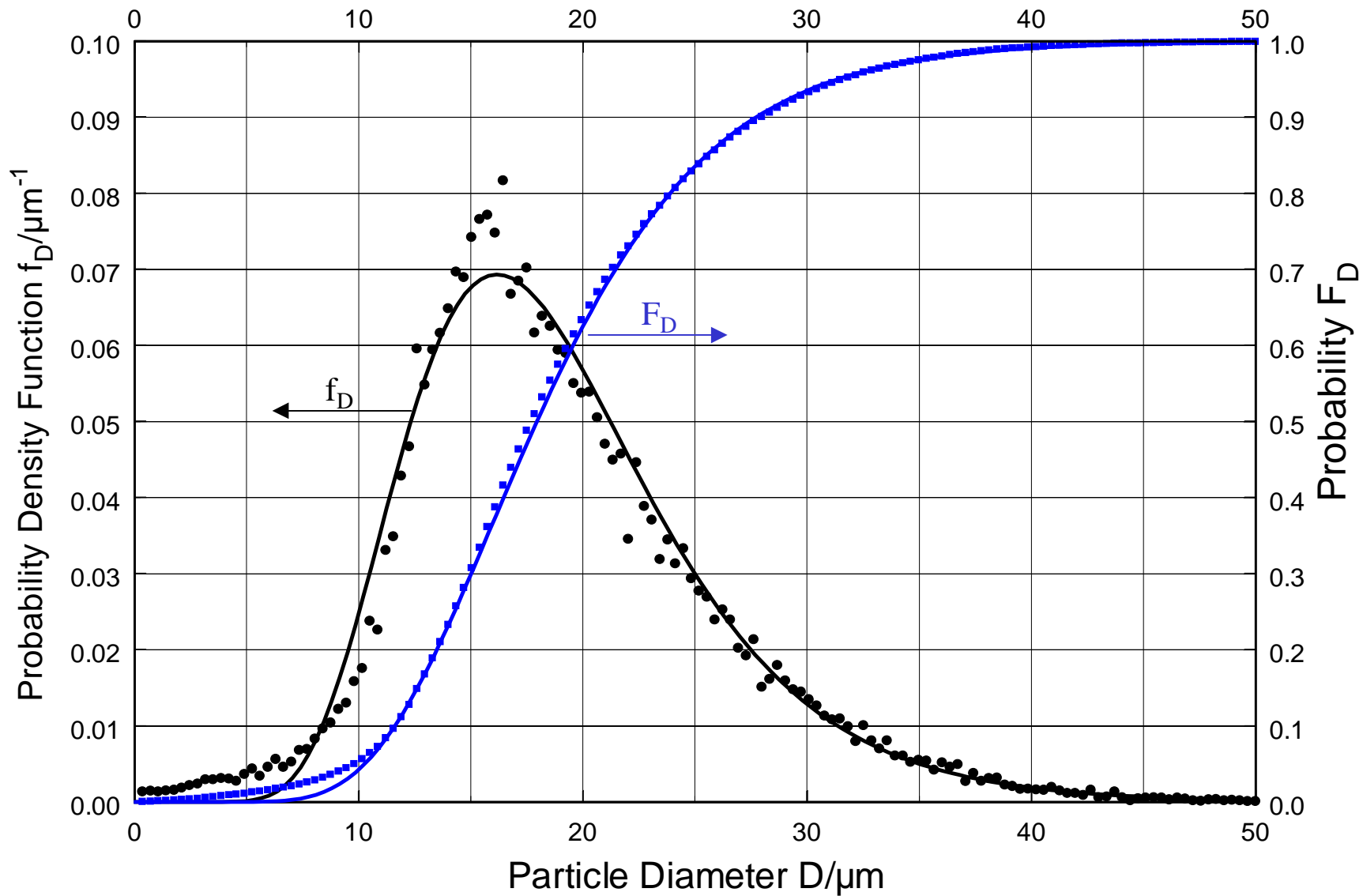
Spruehlackierung:
Standardeinstellungen
CFX-5.5, Netz 4
RSM, 2. Ordnung
10 Iterationen/Zeitschritt
RMS-Residuen-Kriterium 10^{-6}

Axialgeschwindigkeit $u(r)$



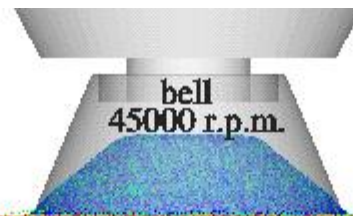
Droplet Size Distribution from PDA Measurements

normal operating conditions

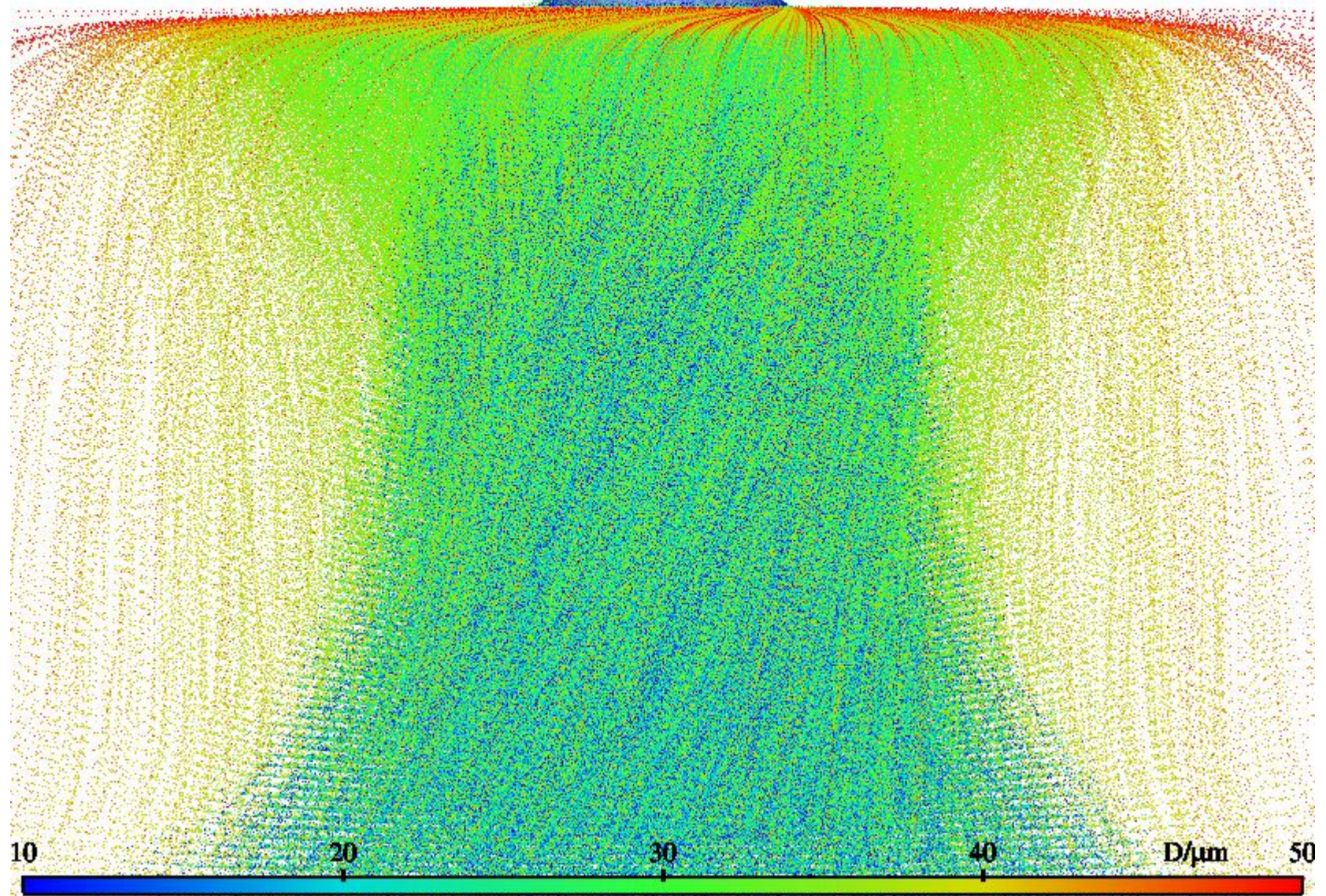


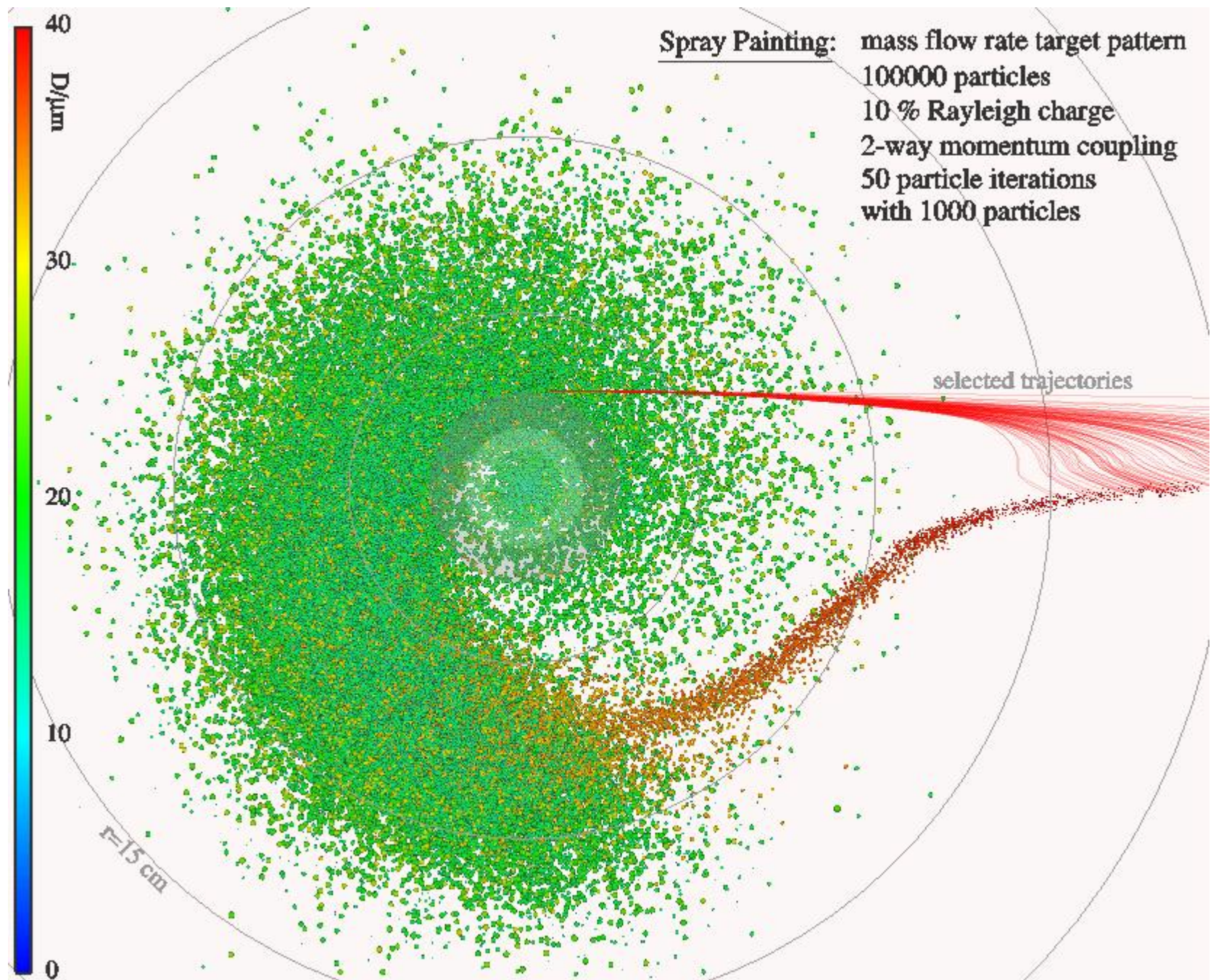
Spray Painting:

20000/100000 particles
10 % Rayleigh charge



2-way momentum coupling
50 particle iterations
with 1000 particles each

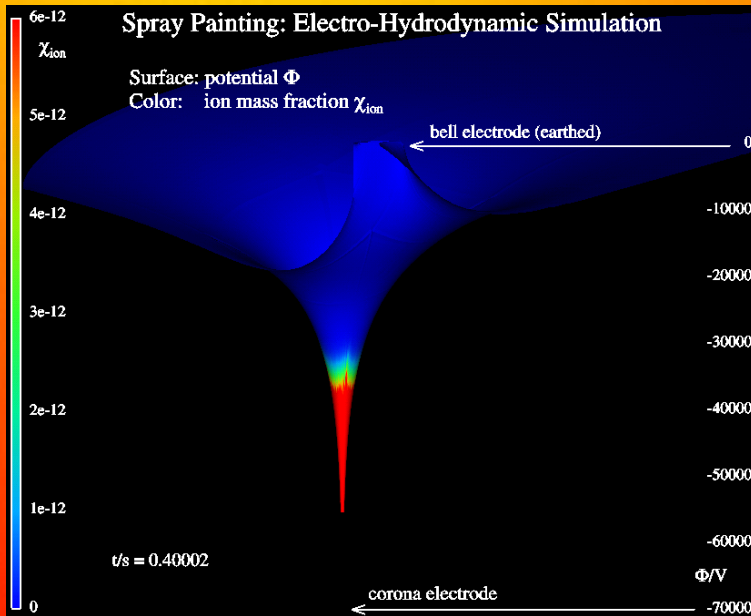




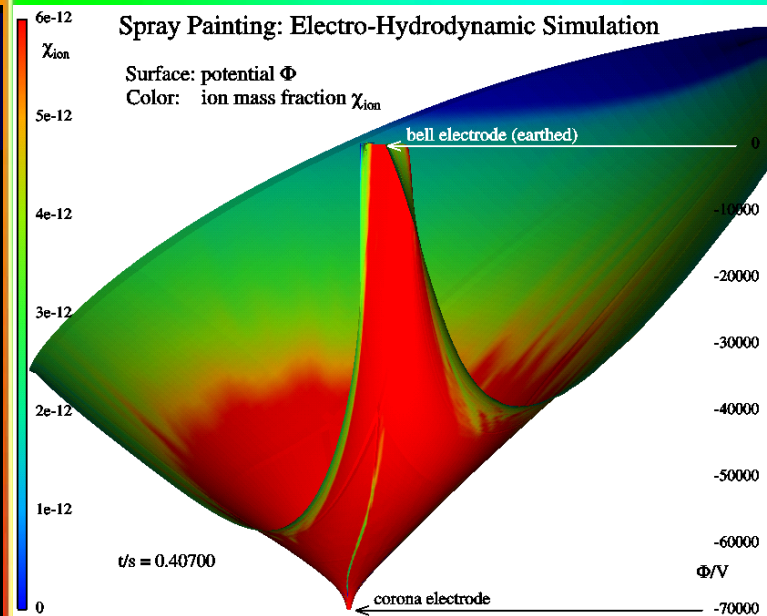
electrode at -70000 V

bell
45000 r.p.m.

electrode with corona



Without volume charge



With volume charge

grounded target plate

Transportprozesse:

- Luftströmung
- Ionentransport im selbst-konsistenten elektrischen Feld
- Partikelbewegung mit (Feld-)Aufladung durch Ionen, Verdunstung, etc.

Modellgleichungen:

$$\frac{\partial \rho}{\partial t} + \frac{\partial(\rho u_i)}{\partial x_i} = \frac{D\rho}{Dt} + \rho \frac{\partial(u_k)}{\partial x_k} = 0$$

Kontinuitätsgleichung (Massenerhaltung)

$$\rho \frac{Du_i}{Dt} = -\frac{\partial p}{\partial x_i} + \frac{\partial t_{ki}}{\partial x_k} + F_i$$

Navier-Stokes-Gleichung (Impulserhaltung)

$$t_{ij} = \mu \left(\frac{\partial u_i}{\partial x_j} + \frac{\partial u_j}{\partial x_i} \right) - \left(\frac{2}{3} \mu - \kappa \right) \frac{\partial u_l}{\partial x_l} \delta_{ij}$$

viskoser (molekularer) Scherspannungstensor,
 μ : molekulare Viskosität, $\kappa \ll \mu$

$$\nabla \times \vec{E} = 0, \vec{E} = -\nabla \Phi$$

E: elektrische Feldstärke, Φ : skalares Potential

$$\nabla \cdot \vec{D} = \frac{\partial D_l}{\partial x_l} = \gamma_{ion} + \gamma_p, \vec{D} = \epsilon_0 \epsilon_r \vec{E}$$

γ : elektrische Raumladungsdichte (Ionen + Partikel)

ϵ : Permittivität

$$\frac{\partial \gamma_{ion}}{\partial t} + \frac{\partial j_l^{ion}}{\partial x_l} = s_{ion} \equiv -\left(\frac{\partial \gamma_p}{\partial t} + \frac{\partial j_k^p}{\partial x_k} \right)$$

Ladungserhaltungsgleichung

Ionenstromdichte durch Konvektion, Konduktion, Diffusion

b: elektrische Ionenbeweglichkeit

D: Diffusionskoeffizient

w=bE: Driftgeschwindigkeit

$$\vec{j}^{ion} = \gamma_{ion} (\vec{u} + b\vec{E}) - D_{ion} \nabla \gamma_{ion}$$

$$\frac{d\vec{v}}{dt} = f(\vec{u} - \vec{v}, \frac{D\vec{u}}{Dt} - \frac{d\vec{v}_p}{dt}, \dots, \vec{E}, q)$$

$$\frac{dq}{dt} = f(q, \gamma_{ion}, |\vec{E}|, |\vec{u} - \vec{v}|, t)$$

Wechselwirkungen:

- Impulsaustausch zwischen kontinuierlicher und Partikelphase
- Impulsrückwirkung auf Turbulenzstruktur
- Impulsaustausch zwischen Ionen und Luft
- Ladungsaustausch zwischen Ionen und Partikeln



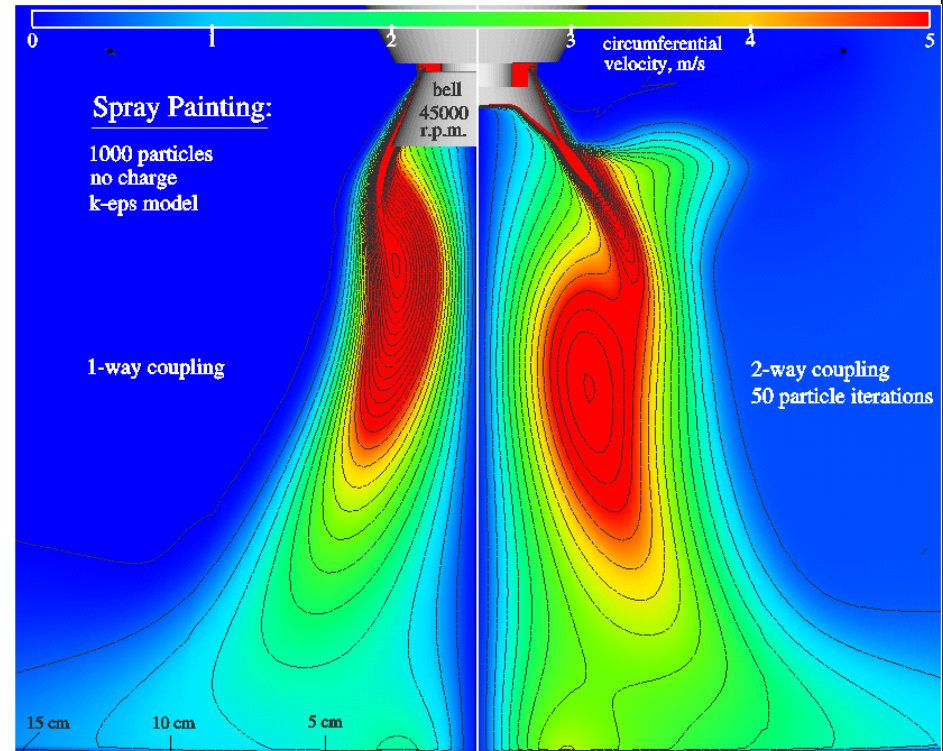
Klasseneinteilung nach Kopplungsintensität
 Identifizieren von Teilproblemen
 iterative Kopplung

Randbedingungen für E-Feld:

Elektrodenspitze:	$\Phi = \Phi_c$ $E \leq E_c$
Leiter:	$\Phi = 0$
Nichtleiter:	$\frac{\partial \Phi}{\partial x_n} = 0$

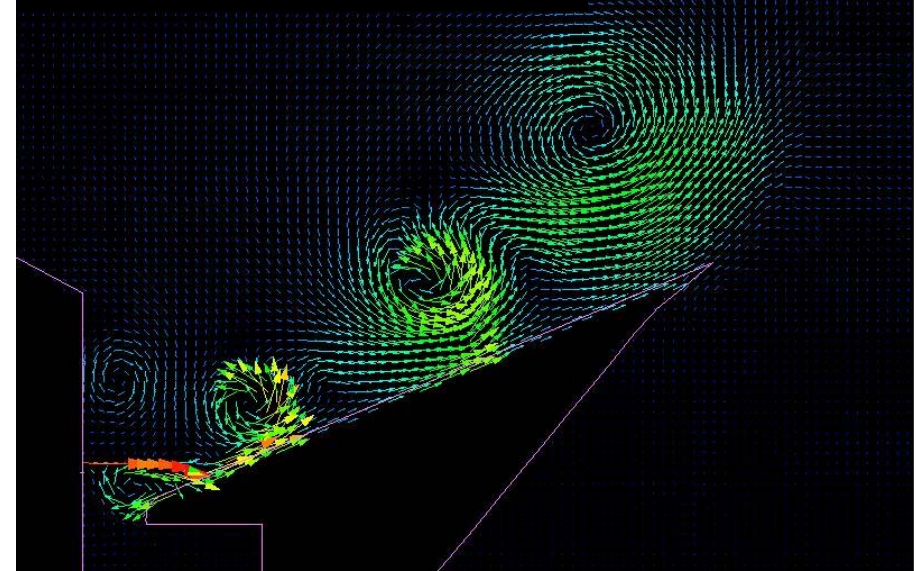
Lagrange-Darstellung: $u = \text{instantane Fluidgeschwindigkeit (!)}$

Erhaltungsgleichungen für translatorischen Partikelimpuls sowie Partikelladung



z.B. $\Phi_c = -56$ kV (Meßwert),
 Kaptzov-Bedingung mit Peek-Feldstärke E_c , z.B. 12 MV/m
 geerdete Äquipotentialflächen: Glocke, m.E. Target

Oberfläche mit Ladung gesättigt (?)



Bemerkungen:

1. Strömungsgleichungen praktisch nicht lösbar !
 Beschreibung turbulenter Schwankungen
 als stochastischer Prozeß: (z.B. zeitliche
 „Reynolds“-Mittelung + Ergodenhypothese)

$$\vec{u} \rightarrow \vec{U} = \vec{u} - \overline{\vec{u}}$$

$$t_{ij} \rightarrow t_{ij} + \tau_{ij}, \tau_{ij} = -\rho \overline{u'_i u'_j} \quad \text{Reynoldsspannung}$$

→ Physikalisch motivierte Annahmen
 zur Modellschließung notwendig !

(a) 6 Transportgleichungen für Reynoldsspannungen

(b) Boussinesq-Approximation:

$$\tau_{ij} = \mu_t \left(\frac{\partial U_i}{\partial x_j} + \frac{\partial U_j}{\partial x_i} \right) - \frac{2}{3} \left(\rho k + \mu_t \frac{\partial U_l}{\partial x_l} \right) \delta_{ij}$$

Transportgleichung für turbulente kinetische Energie: $k = \frac{1}{2} \overline{u'_i u'_i}$

Transportgleichung für Dissipationsrate der turbulenten kinetischen Energie: $\varepsilon = \frac{\mu}{\rho} \overline{\frac{\partial u'_i}{\partial x_k} \frac{\partial u'_i}{\partial x_k}}$

oder

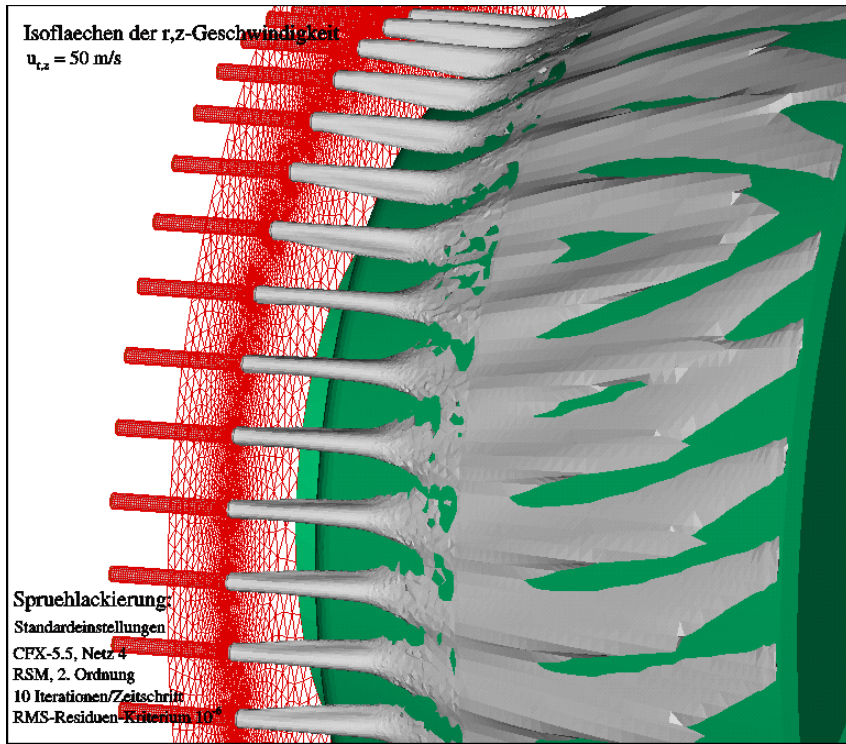
Transportgleichung für Frequenz der dissipierenden Wirbel: $\omega = \frac{1}{C_\mu} \frac{\varepsilon}{k}$

turbulente Wirbelviskosität: $\mu_t = \rho C_\mu \frac{k^2}{\varepsilon}$

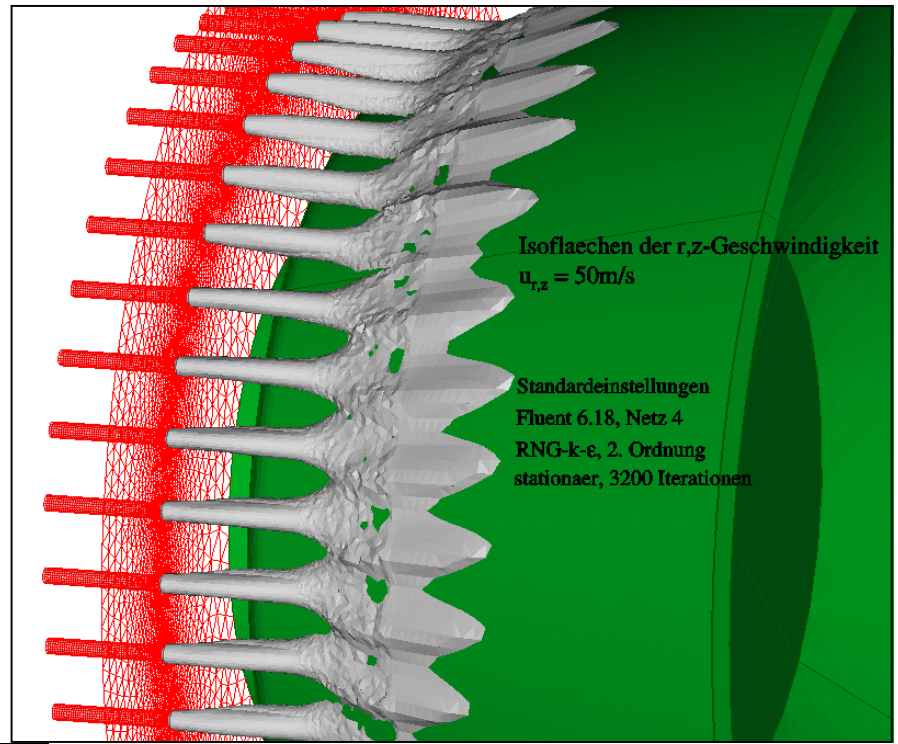
2. 1-phasige Strömungsergebnisse abhängig von:

- Netzeinteilung
- Diskretisierungsschema
- Turbulenzmodell

→ hoher numerischer Aufwand für Gittererzeugung und Berechnung notwendig !



RSM, 2.Ordnung, CFX-5.5



RNG-k-epsilon, 2.Ordnung, Fluent-6.18

Isoflächen der r,z-Geschwindigkeit $U_{r,z} = 50 \text{ m/s}$

Elektrisches Teilproblem: Berechnung von Ionenkonzentration und selbst-konsistentem E-Feld

Störungsansatz: Ionen werden allein durch E-Feld bewegt, keine anderweitigen Einflüsse

$$\gamma_p = 0, s_{ion} = 0, \vec{j}^{ion} = \gamma_{ion} b \vec{E}$$

$$\Delta \Phi = -\frac{\gamma_{ion}}{\epsilon_0 \epsilon_r}, \vec{E} = -\nabla \Phi$$
$$\frac{\partial \gamma_{ion}}{\partial t} + \nabla \cdot (b \gamma_{ion} \vec{E}) = 0$$

1. *Ansatz:* $\vec{E} = \vec{E}_1 = S \vec{E}_0$ E_0 : E-Feld ohne Raumladung (Lösung der Laplace-Gleichung)

$$\nabla \cdot \vec{E}_0 = 0, \nabla \times \vec{E}_0 = \nabla \times \vec{E}_1 = 0 \rightarrow S = \sqrt{\frac{2 j_c^{ion}}{\epsilon_0 \epsilon_r E_{0c}} \Delta t_c + \left(\frac{E_{1c}}{E_{0c}}\right)^2}$$

Δt_c : Zeit, die ein Ion im Laplace-Feld benötigt, um entlang der Feldlinie Γ_c vom Fußpunkt c („corona“) auf der Sprühelektrode bis zum Aufpunkt zu driften

j_c : Ionenstromdichte am Fußpunkt c

$$\Delta \Phi = \int_{\Gamma_c} \vec{E}_1(j_c^{ion}) \cdot d\vec{l} \quad : \text{ iterative Bestimmung der Ionenstromdichteverteilung auf der Elektrode}$$

Berechnungsgang: Lösung der Laplace-Gleichung (z.B. BEM), Integration entlang E-Feldlinien

→ analytisch lösbare Fälle sowie „Spitze-vor-Platte“: E_1 bereits gute Näherung !

2. *Iterative Nachbesserung:* Lösung der Poisson-Gleichung mit Partikelladungsdichte als Anregung
Lösung der Ionentransportgleichung mit Konvektions- und Diffusionseinfluß
FEM-BEM Kopplung

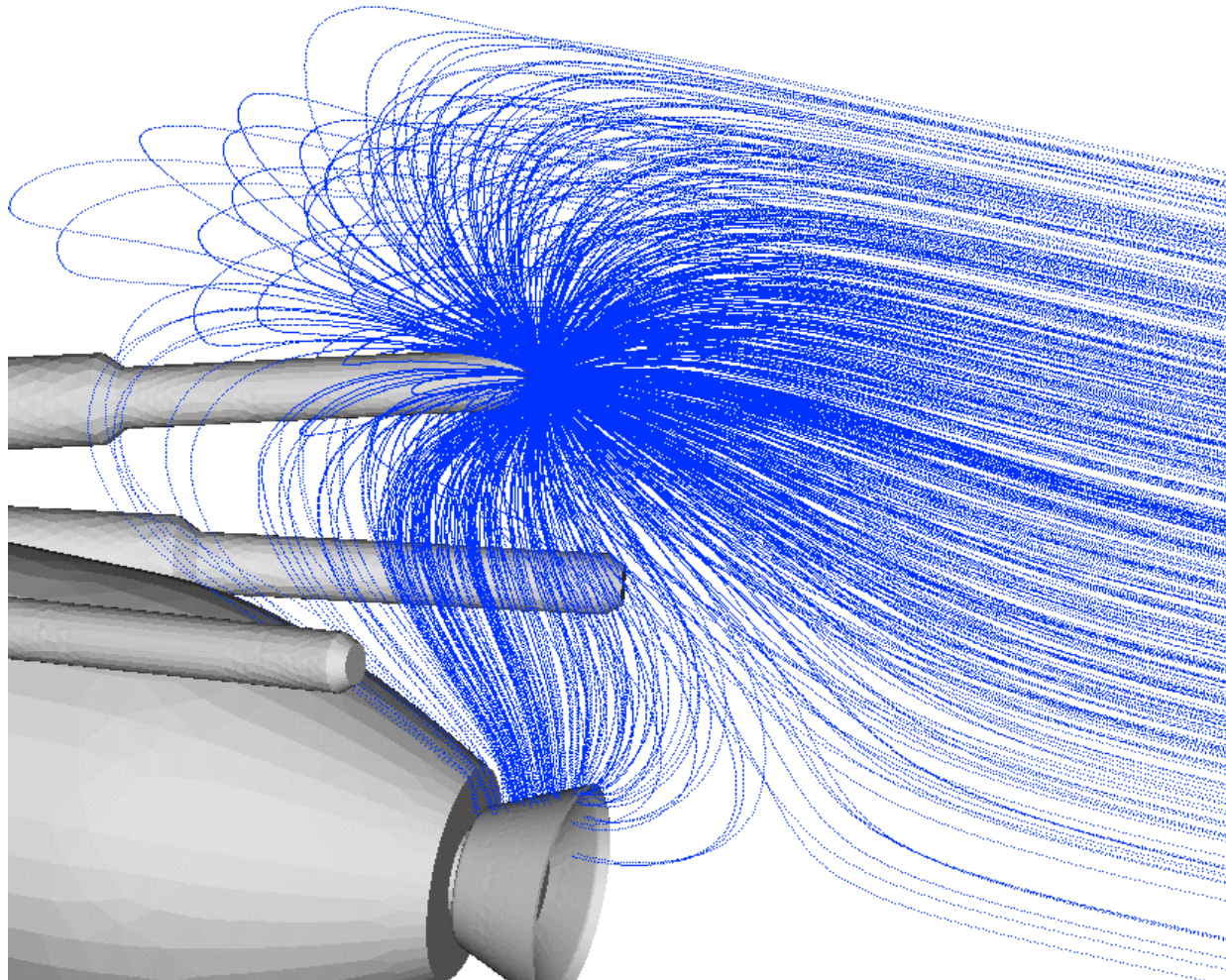
BEM:

- hohe Zahl an Freiheitsgraden $\sim 10^5$
- großer Anteil an Dirichlet-Rändern
- schnelle Lösung des linearen Systems + schnelle Auswertung (E-Feld) im Volumen

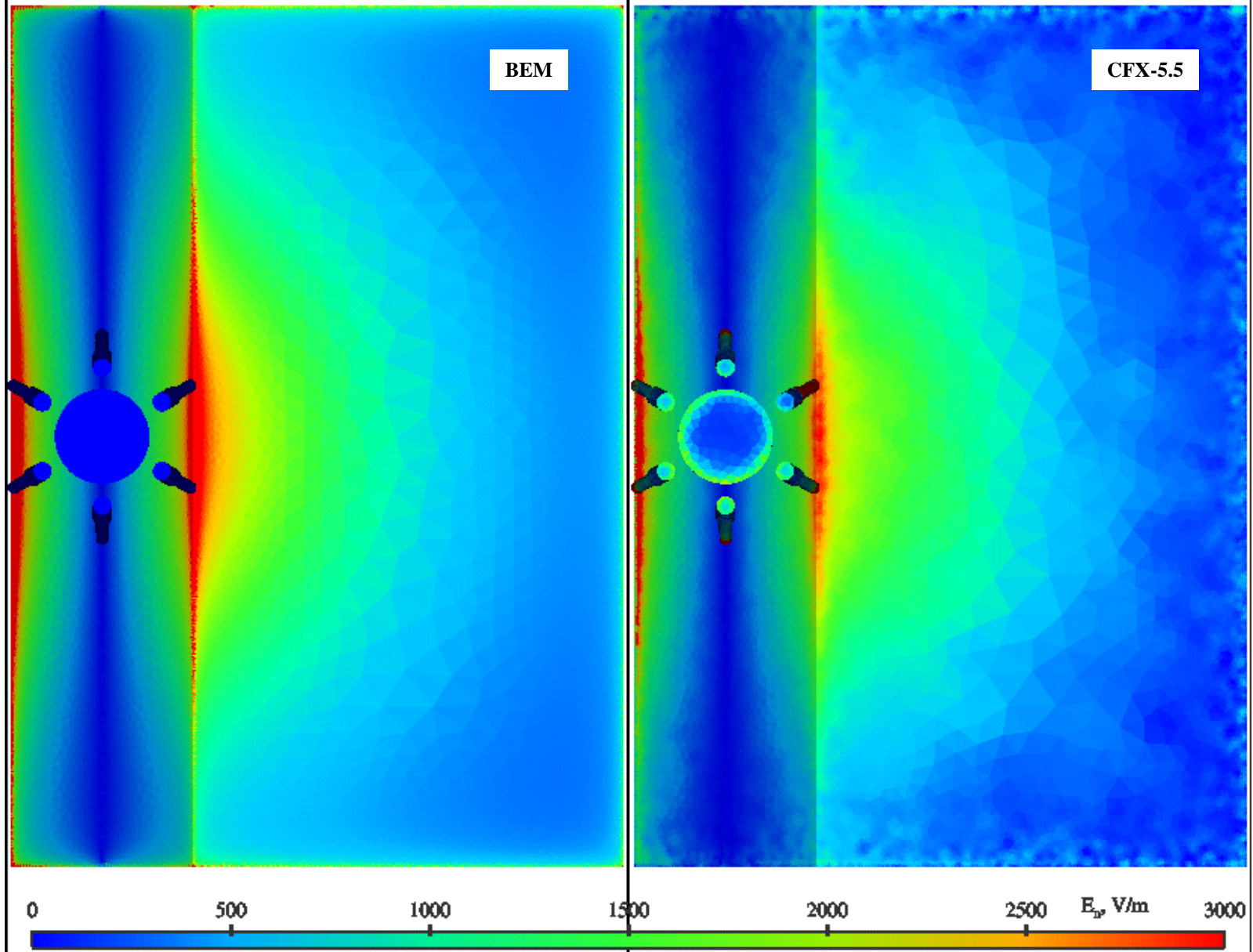
Verfahren benötigt kein Volumennetz

E-Feld glatt

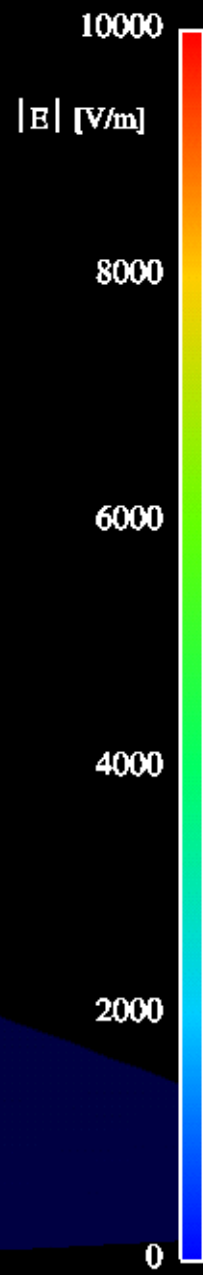
berechnete Feldlinien geeignet für automatische Netzkonstruktion



Vergleich der Lösungen des Laplace-Problems



Spray Painting: Electric field strength without space charge
clip plane $z=0$ (along target groove)



10^8
↑

